

该问题中已知传感矩阵 \mathbf{A} 和观测到的信号 \mathbf{b} ，需求解原始信号 \mathbf{x} 。因此需使算法得到的 \mathbf{Ax} 与 \mathbf{b} 尽可能接近，即优化 $\|\mathbf{Ax}-\mathbf{b}\|_2^2$ ，由于 \mathbf{x} 为稀疏向量，因此采取如下优化目标：

优化目标： $F = 0.5 * \|\mathbf{Ax}-\mathbf{b}\|_2^2 + \lambda \sum \sqrt{x_i^2 + \varepsilon} := F1 + F2$

优化目标梯度： $dF = \mathbf{A}' * (\mathbf{A} * \mathbf{x} - \mathbf{b}) + \lambda * \mathbf{x} ./ ((\mathbf{x}.^2 + \text{epsilon}).^0.5) := dF1 + dF2$

Hassen 矩阵： $dF_2 = \mathbf{A}' * \mathbf{A} + \lambda * \text{diag}(\text{epsilon} ./ ((\mathbf{x}.^2 + \text{epsilon}).^1.5)) := H1 + H2$

迭代停止准则：

由于目标函数为下凸函数，极小值点梯度为 0，因此设置迭代停止准则为：优化目标函数的梯度各分量平均值小于 10^{-5} 。

λ 选取：

当 λ 较大时， dF 中的 $dF2$ 较大，因此达到同样迭代停止准则时， \mathbf{x} 更接近 0，得到的真实信号误差（即 $\|\mathbf{Ax}-\mathbf{b}\|_2^2$ ）较大。而 λ 过小时，得到 \mathbf{x} 可能不够稀疏。

因此对于各 ε ，不断增大 λ ，计算模型得到的观测结果与真实观测结果 \mathbf{b} 的相对误差（ $err = \frac{\|\mathbf{Ax}-\mathbf{b}\|_2^2}{\|\mathbf{b}\|_2^2}$ ），选择能够使该相对误差的最终结果约下降为 10^{-4}

的 λ 。

步长：

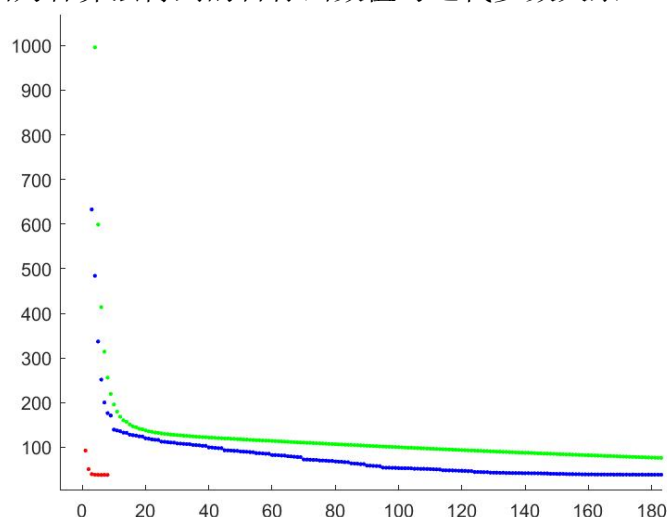
为便于比较各算法，梯度下降法、BB 算法均搭配 Armijo 准则选取。初值设置为 1。

一、 $\varepsilon = 10^{-2}$

根据上述 λ 选取准则，得到的 λ 为 1。

其中牛顿法由于 Hassen 矩阵在迭代过程中可能非正定，采用修正牛顿法：， $t^k = -\min(\lambda(\nabla^2 f(x_k))) + m$ ， $G_k = \nabla^2 f(x_k) + t^k * I$ ， $x^{k+1} = x^k - a * G_k^{-1} * \nabla f(x^k)$ ，不断增大 m ，发现 m 在 2 附近时牛顿法收敛最快。

下图为各算法得到的目标函数值与迭代步数关系：



(其中绿色为梯度下降, 蓝色为 BB 算法, 红色为牛顿法)

图中可以看出, 相比于其它两种算法, 牛顿法收敛最快, 约迭代 8 次, 而 BB 算法、梯度下降法分别约为 583 次、2077 次。

梯度下降法、BB 算法、牛顿法迭代总时间分别为 29s、13s、0.24s, 平均每轮迭代时间约为 0.014s、0.0223s、0.03s, 可以看出, 虽然牛顿法收敛最快, 但每轮迭代计算量最大, 而梯度下降法虽然收敛最慢, 但每轮计算量最小。

由于迭代是否停止是跟据梯度各分量绝对值的平均值判断的, 因此各算法得到的相对误差、目标函数值相似, 没有显著差别。此时目标函数值约为 39. 其中 $F1 \approx 0.613$, $F2 \approx 38.85$, $\|x\|_1 \approx 20.7$ 。为衡量 x 稀疏度, 多次运行计算平均值

$$\frac{\|x\|_1}{\|u\|_1} \approx 1.2$$

$$\frac{\|x-u\|_2^2}{\|u\|_2^2}$$

该题中已知原始信号为 u , 因此为比较算法对信号还原程度, 计算 $\frac{\|x-u\|_2^2}{\|u\|_2^2}$, 多次运行计算平均值约为 0.045. 该值较小, 可以看出算法对信号还原度较高。

二、 $\varepsilon = 10^{-4}$

“ λ 选取”中的 err 没有明显变化, λ 仍取 1.

对于牛顿法, Hassen 矩阵中的 $H2$ 为对角元素均正的对角矩阵, 因此当该矩阵中元素较大时, Hassen 矩阵更容易正定。

考虑 ε 减小时 $H2$ 如何变化: 令 $n=m+d$, ($d>1$),

$$\rho := \frac{H2(10^{-m})}{H2(10^{-n})} = 10^d \left(\frac{x_i^2 + 10^{-m-d}}{x_i^2 + 10^{-m}} \right)^{1.5}, \quad \text{若 } \rho > 1, \quad \text{则 } \frac{x_i^2 + 10^{-m-d}}{x_i^2 + 10^{-m}} > 10^{\frac{-2d}{3}},$$

$$10^{-m} < \frac{(1 - 10^{\frac{-2d}{3}})x_i^2}{10^{\frac{-2d}{3}} - 10^{-d}}, \quad \text{令该不等式为(a)。当 } m=2, d=2 \text{ 时, 使得 } \rho > 1 \text{ 的 } x_i \text{ 约满足:}$$

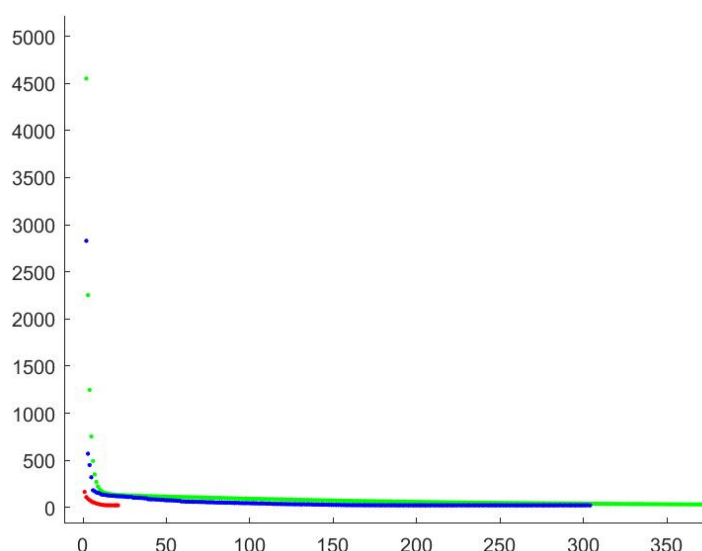
$|x_i| > 0.02$ 。由于 x_i 满足标准正态分布, 因此 x_i 满足 $|x_i| > 0.02$ 的概率较大 (约为

99%), 即此时的 $H2$ 对角线元素比 $\varepsilon = 10^{-2}$ 时 $H2$ 对角线元素小的可能性较大。

因此应增大上述牛顿迭代公式中的 m , 当 m 在 10 附近时牛顿法收敛最快。因此牛顿法迭代公式为:

$$t^k = -\min(\lambda(\nabla^2 f(x_k))) + 10, \quad G_k = \nabla^2 f(x_k) + t^k * I, \quad x^{k+1} = x^k - a * G_k^{-1} * \nabla f(x^k)$$

下图为各算法得到的目标函数值与迭代步数关系：



(其中绿色为梯度下降，蓝色为 BB 算法，红色为牛顿法)

图中可以看出，相比于其它两种算法，牛顿法收敛最快，约迭代 28 次，而 BB 算法、梯度下降法分别约为 374 次、719 次。但此时牛顿法迭代法比 $\varepsilon = 10^{-2}$ 时收敛更慢，而其他两种算法收敛更快。

此时目标函数值约为 24. 其中 $F1 \approx 0.14$ ， $F2 \approx 23.84$ ， $\|x\|_1 \approx 22$ ，多次运行计算平均值 $\frac{\|x\|_1}{\|u\|_1} \approx 1$ 。可以看出在此种迭代停止准则情况下 $\varepsilon = 10^{-4}$ 时得到的 x 更稀疏。

多次计算求平均值，得 $\frac{\|x-u\|_2^2}{\|u\|_2^2} \approx 0.0015$ ，因此 $\varepsilon = 10^{-4}$ 时算法对信号还原度更高。

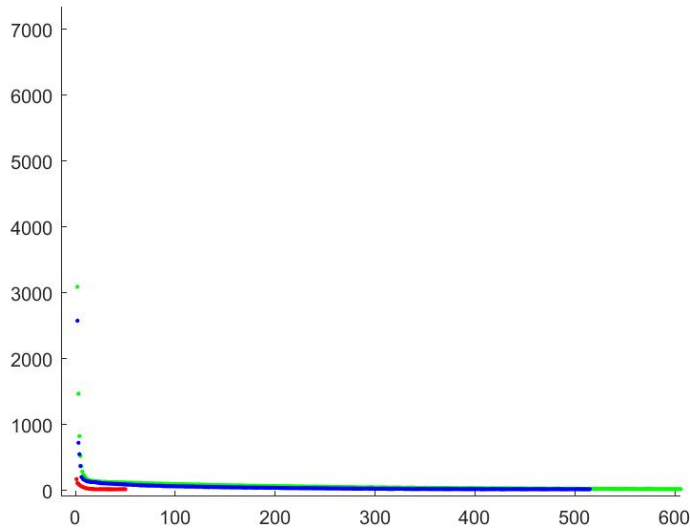
三、 $\varepsilon = 10^{-6}$

λ 仍取 1。

对于牛顿法，此时 m 在 10 附近时牛顿法收敛最快。因此牛顿法迭代公式为：

$$t^k = -\min(\lambda(\nabla^2 f(x_k))) + 10, \quad G_k = \nabla^2 f(x_k) + t^k * I, \quad x^{k+1} = x^k - a * G_k^{-1} * \nabla f(x^k)$$

下图为各算法得到的目标函数值与迭代步数关系：



(其中绿色为梯度下降，蓝色为 BB 算法，红色为牛顿法)

图中可以看出，相比于其它两种算法，牛顿法收敛最快，约迭代 50 次，而 BB 算法、梯度下降法分别约为 515 次、991 次。可以看出，随着 ε 的减小，牛顿法迭代越来越慢。

此时目标函数值约为 21. 其中 $F1 \approx 0.118$ ， $F2 \approx 20.755$ ， $\|x\|_1 \approx 20.6$ ，多次运

行计算平均值 $\frac{\|x\|_1}{\|u\|_1} \approx 0.99$ 。此时得到的 x 与 $\varepsilon = 10^{-4}$ 时得到的 x 稀疏度相似。

多次计算求平均值，得 $\frac{\|x-u\|_2^2}{\|u\|_2^2} \approx 3.8 \times 10^{-4}$ ，因此 $\varepsilon = 10^{-6}$ 时算法对信号还

原度更高。

四、不同噪声水平

若 ε 取 10^{-4} 。

1. 噪声水平取 0 时：

牛顿法约迭代 20 次，而 BB 算法、梯度下降法分别约为 462 次、1573 次。此时梯度下降法收敛比噪声为 0.01 时更慢，而其它两种算法无显著差别。

此时目标函数值约为 21. 其中 $F1 \approx 0.21$ ， $F2 \approx 23.84$ ， $\|x\|_1 \approx 21$ ，多

次运行计算平均值 $\frac{\|x\|_1}{\|u\|_1} \approx 1$ 。

此时由于没有噪声， $Ax=b$ 的极值点对应 x 更稀疏，因此可增大 λ 以提高收敛速度。若增大 λ 至 1.5，梯度下降法收敛变快，此时依然能确保 err 下降至约 10^{-4} 。牛顿法、BB 算法、梯度下降法分别约迭代 24 次、236 次、796 次，收敛速度与噪声为 0.01 时相似。

多次计算求平均值，得 $\frac{\|x-u\|_2^2}{\|u\|_2^2} \approx 0.002$ ，与噪声程度为 0.01 时相似。

2. 噪声水平取 0.5 时:

此时为确保 err 下降至约 10^{-4} , 需将 λ 降至 0.8

牛顿法约迭代 69 次, 而 BB 算法、梯度下降法分别约为 821 次、2977 次。与噪声为 0.01 时相比收敛速度均变慢。

此时目标函数值约为 21. 其中 $F1 \approx 0.336$, $F2 \approx 20.4$, $\|x\|_1 \approx 24.4$,

多次运行计算平均值 $\frac{\|x\|_1}{\|u\|_1} \approx 1.15$ 。因此噪声程度为 0.01 时得到的 x 更稀

疏。

多次计算求平均值, 得 $\frac{\|x-u\|_2^2}{\|u\|_2^2} \approx 0.02$, 比噪声为 0.01 时得到的 x 还

原度更低。